Ecole Nationale Supérieure des Mines de Paris CENTRE DE GÉOSTATISTIQUE

Fontainebleau CG

N - 66

Note Géostatistique N° 70

Morphologie mathématique et granulométries en place

Georges MATHERON

Février 1967

35, rue Saint-Honoré, 77305 FONTAINEBLEAU CEDEX, France Téléphone (1) 64 69 47 04 – Télécopieur 64 69 47 05 – Telex MINEFON 694736F

					1	3		£			
Paris	<i>]</i>	-	-	7		4	3	.,	4		
L 41 10,		*******************************	•••••		• • • • • • • • • • • • • • • • • • • •	•••••	****	******		********************	•

Boulevard Saint-Michel, 60 (VI°)
Téléphone : Danton 63-60

ÉCOLE NATIONALE SUPÉRIEURE

DES

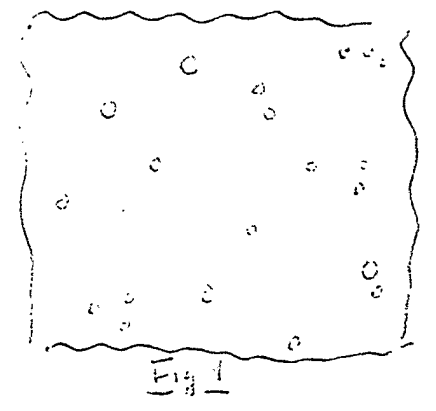
- MINES

NOTE GESTATISTIQUE Nº 70

Morphologie mathematique et Granulometries.

Introduction.

Nous nous proposons, dans ce qui suit, d'appliquer les methodes de la morphologie mathematique à l'etude des granulometries en place. Il s'agit, on le devine, de caracteriser les formes, souvent complexes, que l'on peut, par exemple, observer sur une lame mince, à l'aide de critères independants des proprietés structurales de notre X appareil perceptif. Cet appareil, en effet, ne peut fonctionner qu'en s'appropriant son objet, en reorganisant ce qui lui est donne, de manière à le rendre conforme à ses propres structures. Les representations immediates que nous fournit la perception sont donc souvent trompeuses. La figure I montre des petits cercles implantes au hasard



dans le plan, selon un schema de Poisson. L'oeil humain, lui, perçoit des groupes de points agglomerés, separes pap de grandes plages vides. Il devine des centres d'attraction et de repulsion, et tout un reseau complexe de relations mutuelles parfaitement imaginaires.

Telle qu'on la comprend nabituellement, la notion de granulometrie repose sur l'existence de grains is vidualisables sans ambiguité.

Elle se rapporte à un schema analogue à celui que nous representons sur la figure 2 : des grains fortement individualises, de forme convexe de preference, apparaissent en relief au dessus d'un fond ou d'un ciment depourvu d'existence propre. Le ciment n'est là que pour remplir l'espace laisse libre par les grains qu'il moule en creux. Il ne determine pas lui-meme ses formes, mais se les laisse

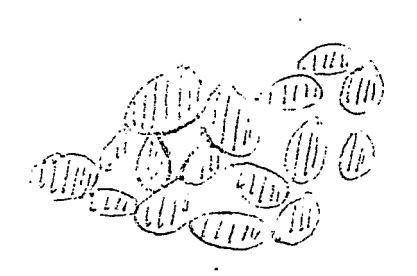


Figure 2

imposer par l'autre. Il faut d'ailleurs un certain effort d'attention pour arriver à voir ces formes negatives. L'observateur, donc, va compter les grains, mesurer leurs surfaces, et construire une courbe granulometrique. Il ne s'occupera pas du ciment ou des pores. Il obtiendra ainsi des renseignements relatifs à la forme moyenne des grains considérés comme des individus indépendants les uns des autres.

Mais il ne connaitra pas leurs relations mutuelles, la manière dont ils s'arrangent dans l'espace (en langage petrographique, la texture de la roche). Pour representer cet arrangement, il faudrait connaitre la repartition des intervalles d'espace separant les grains, c'est à dire justement la granulometrie des pores ou du ciment. Cette dernière est sans doute au moins aussi importante que celle des grains dans un grand nombre de questions. Les proprietes hydrodynamiques d'une roche, en particulier, sont de toute évidence liees directement à la granulotmetrie des pores beaucoup phus qu'à celle des grains.

D'ailleurs, le schema de la figure 2 correspond à un cas extreme:

On n'a pas toujours une opposition aussi nette entre des grains

convexes affirmant fortement leur individualité et leur ciment indifférencié. Les grains peuvent se souder, presenter des concavites, contenir des enclaves eve... Toute concavité des grains a pour corollaire

une convexite des pores. Au fur et à mesure que la notion de grain individualisable s'estompe et devient plus floue, on voit apparaître, en contrepartie, et se developper au sein du ciment, des ebauches d'individualisations, d'abord informes, qui vont en s'affirmant sans cesse d'avantage.

Si donc nous desirons eviter les pièges que nous tendent les representations spontanement anthropomorphiques (ou mieux, zoomorphiques) fournies par l'appareil perceptif humain, nous devons, en premier lieu construire un concept de granulometrie independant de toute notion de, grain individualisable. Cette construction a ete presente par ailleurs dans sa generalite. Nous nous limiterons ici aux granulometries lineaires : granulometries des traversees des grains et des pores, que manulometries des traversees des grains et des pores, que manulometries des traversees des grains et des pores, que manulometries des traversees des grains et des pores, que manulometries des traversees des grains et des pores, que manulometries des traversees des grains et des pores, que manulometries des traversees des grains et des pores, que manulometries des traversees des grains et des pores, que manulometries de la porte exprimerons sous une forme probabiliste. Ces granulometries lineaires. deduites d'observations effectuees exclusivement le long de droites, permettent cependant de reconstixutuer certains parametres caracteristiques des milieux à 2 ou 3 dimensions dont elles sont extraites: l'etoile d'abord qui genéralise la notion de surface moyenne, ou de volume moyen d'un grain individuel, mais qui s'applique aussi bien aux pores ; en deuxième lieu, la surface specifique de contact entre les grains et les pores (ou, plus generalement, entre deux constituants d'un milieu à plusieurs composantes). Ces divers parametres ne caracterisent les propriétés structurales du milieu qu'à l'echelle de la granulometrie. Ils expriment seulement des rapports de voisinage immediat. Pour atteindre les structures qui pourraient se manifester à plus vaste echelle, nous disposerons de la fonction de covariance,

I- G.Matheron " Elements pour une théorie des milieux poreux", Masson: et Co, Paris, sous presse.

et nous en deduirons un rayon d'ergodicite, ou <u>portee</u>, qui representera l'ordre de grandeur des dimensions de ces structures plus vastes.

Nous consacrerons la deuxième partie de cette etude à ce que l'on pourrait appeler l'analysis situs des granulometries planes, (ce terme ancien convient très bien aux considerations geometriques elementaires que nous avons en vue, dans lesquelles les notions d'ouverture et de fermeture topologiques ne jouent pour ainsi dire aucun role).Il s' agira ici de construire une notion precise de l'individualité pour les grains, comme pour les pores.Du point de vue de la convexité, considerée comme la plus haute forme d'affirmation de soi dont soit capable un individu appartenant au règne mineral, nous caracteriserons un milieu poreux par deux nombres specifiques de convexite, \mathcal{V}_{l} et \mathcal{V}_{c} , representant les nombres d'individus convexes equivalents aux grains et aux pores contenus dans l'unité de surface. Mais il est egalement possible de rattacher la notion d'individualité à celle de composante connexe. On appelle alors individu un ensemble connexe (d'un seul tenant) maximal constitué de points appartenant à une seule des deux composantes du milieu. Outre les grains proprement dits, nous devrons considerer les enclaves qu'ils contiennent. Ce point de vue conduit à définir un nombre specifique de connexité /, egal au nombre de grains connexes contenus dans la surface uniteMdiminue du nombre des enclaves qu'ils contiennent. La solidarite qui lie etroitement les grains et les pores dans leurs efforts antagonistes pour s'affirmer sous une forme convexe s'exprimera par la relation $V_{\rm C}=V_{\rm 1}-V_{\rm C}$.Dans le cas d'un milieu à trois dimensions, le nombre de connexité observé sur les sections planes pourra de plus etre rattaché à la courbure moyenne de la surface de séparation des grains et des pores.

A la difference des notions purement lineaires introduites dans la première partie, l'analysis situs n'est possible que si l'on dispose d'observations faites simultanement sur deux droites paralleles, très proches l'une de l'autre : la deuxième dimension intervient effectivement, mais seulement sous la forme d'une amorce. Nous devrons naturellement examiner de quelle manière on peut realiser des observations de ce genre, en utilisant des procedés de balayage discontinu.

En approfondissant ensuite la notion de nombre specifique de convexite, nous constaterons qu'elle se relie de manière simple à la courbure du perimetre des grains. Il est meme possible de determiner experimentalement la loi de repartition de cette courbure, et, en particulier, de distinguer les poptions du perimetre où cette courbure est positive ou negative, selon que le grain a un comportement convexe ou concave. Ici, cependant, on rencontrera certaines difficultes experimentales si le contour des grains presente des points anguleux.

Dans une troisième partie, enfin, nous examinerons le cas particulier des grains spheriques. La sphère represente la perfection de la forme convexe, c'est à dire l'idéal le plus éleve auquel puissent aspires des grains dejà individualises. Il en resulte des relations remarquables qui permettent, dans ce cas, et dans ce cas seulement, de reconstituer integralement le nombre et la granulometrie des grains spheriques originels de l'espace à 3 dimensions, à partir de la granulometrie des cercles ou des segments induits que l'on peut observer sur des plans ou sur des droites.

I-MOTIONS DEDUITES D'OBSERVATIONS PUREMENT LINEAIRES.

Dans cette première partie, nous allons faire l'inventaire des resseignements que l'on peut tirer des observations les plus faciles à realiser experimentalement, c'est à dire des observations purement lineaires, pour lesquelles on n'a jamais besoin de considerer simul - tanement que des points alignes sur une meme droite. Nous presenterons les outils mathematiques de base, qui sont la covariance et les granulometries des traversees, et nous examinerons les informations que chacun d'eux nous apporte relativement aux diverses echelles de structure.

I°/ La covariance

a/ Considerations geometricues preliminaires. Considerons un grain



Figur 3

A,c'est à dire une figure geometrique limitee par un contour ferme (Fig.3).Il est parfaitement defini si l'on se donne une fonction k(x) egale à I ou à 0, selon que le point x appartient ou non au grain.Le volume V (dans l'espace à 3 dimensions) ou la surface S (dans l'espace à 2 dimensions) de ce grain est evidemment l'integrale :

$$V = \int k(x) dx$$

Cette donnée numerique est interessante, mais ne suffit evidemment pas à caracteriser la structure et l'aspect morphologique de notre grain. Si l'on definit la structure d'un ensemble comme le système des relations existant entre ses elements ou ses parties, on voit qu'il n'est possible d'obtenir une information sur la structure de ce

grain qu'à la condition de faire intervenir au moins deux points simultanement. Soient donc x et x + h deux points se deduisant l'un de l'autre dans une translation definie par le vecteur h. Ces deux points appartiennent tous les deux au grain A si, et seulement si, k(x) k(x + h) = T, ou encore, si eP point x appartient à la fois à A et à son translate A dans la translation reciproque -h. Introduisons donc la fonction:

(I)
$$K(h) = \int k(x) k(x + h) dx$$

Elle represente la mesure (le vomume, ou la surface) de l'intersection de A et de son translate $A_{-\ell_i}$, soit $A(A_{-\ell_i})$. On peut aussi bien remplacer $A_{-\ell_i}$ par A_{ℓ_i} (translate de A dans la translation directe h), les deux ensembles $A(A_{-\ell_i})$ et $A(A_{-\ell_i})$ se deduisant l'un de l'autre dans cette meme translation. Ainsi :

$$K(h) = K(-h) = Mes(A | A_{\ell_i}) = Mes(A | A_{\ell_i})$$

Si le grain est isole, K(h) s'annule lorsque le module du vecteur h depasse le plus grand diametre du grain. Mais si nous avons plusieurs grains, et non plus un seul, il arrivera que x et x + h tombent dans des grains différents. Ainsi K(h), qui contient la mesure de l'intersection de chacun des grains avec les translates de tous les autres, renseigne egalement sur les rapports existant entre les différents grains.

pour h=0, K(0) represente le volume V du (ou des) grain.L'integrale $\int K(h)$ dh possede aussi une signification precise : si,dans le deuxième membre de (I), nous integrons d'abord en h puis ensuite en x,nous faisons apparaître le carré du volume. Ainsi :

(2)
$$\begin{cases} K(0) = V \\ \int K(h) \ dh = V \end{cases}$$

Si l'on designe par r = |h| et \times le module et la direction du vecteur h, K(h) est en realite une fonction de la forme $K(\mathbf{r}; \chi)$.

La manière dont cette fonction varie avec \times , r restant fixe, donne une image des proprietes d'anisotropie des grains.

Il est egalement interessant de considerer la derivee en r, $\frac{d}{d\cdot 2}K(\cdot 2, 3)$ et en particulier les valeurs qu'elle prend en r=0: elles dependent de la direction α , et nous la designerons, pour abreger, par $K_{\lambda}^{2}(0)$. Pour en degager la signification, considerons un vecteur de module δ h très petit et de direction β . La différence :

$$K(0) - K(0, \mu) = -\delta \mu K_{0}^{\infty}(0)$$

represente la moitie du volume balayé par un vecteur equipollent à l'h dont l'origine decrirait le contour du grain (ou des grains). Pour un grain convexe unique, ce volume est egal à l'h S, , S, designant l'aire du contour apparent du grain en projection sur un plan perpendiculaire à la direction x. Dans le cas general, on a encore une expression de la forme h S, , S, representant cette fois la somme des projections sur le plan perpendiculaire à x des elements d'aire ds de la surface limite des grains. Si l'on designe par l'angle de la normale à la surface d'un grain et de la direction x, on obtient :

(3)
$$-\kappa_{x}^{2}(0) = \frac{1}{2} \sum_{i}^{\infty} \int_{S_{i}} |\cos \theta| dS$$

(l'integrale est prise sur la surface limite S; du grain N° i, et la somme sest etendue à l'ensemble des grains). Ainsi, K', (0) est lie à l'aire totale de la surface limite des grains. S; .Il est facile d'expliciter cette relation en prenant la valeur moyenne de (3) pour toutes les directions de l'espace. On obtient sans difficulte: (en echangeant l'ordre des integrations):

$$(4) - \frac{1}{\sqrt{\sqrt{\sqrt{\sqrt{\sqrt{2}}} - \sqrt{\frac{1}{2}}}} - \frac{1}{\sqrt{\sqrt{1}}} \int K_{i,i}^{i}(\epsilon) d\alpha = \frac{1}{\sqrt{i}} \sum_{i} S_{i}^{i}$$

On retrouve facilement le coefficient I/4 en remarquant que la sphère de rayon R possede la surface $4\pi R^2$ pour un contoun apparent de πR^2 .

Dans l'espace à deux dimensions, les surfaces S; sont remplacees par les perimètres 2L; des grains, et les relations (3) et (4) deviennent:

(5)
$$- \frac{1}{2\pi} \int_{C} \frac{2\pi}{K_{\alpha}(0)} dx = \frac{1}{\pi} \sum_{i} 2 \sum_{i} 2$$

b/ Linterpretation probabiliste. Les notions que nous avons introduites jusqu'ici sont de nature purement geometrique.Il n'y entre aucum element aleatoire.Il est clair, cependant, que l'extreme complexite des milieux dont nous avons en vue la description va nous conduire, présque inevitablement, à adopter un langage probabiliste. A partir de maintenant, nous considererons donc l'ensemble constitue par les grains comme un ensemble aleatoire.D'une manière plus precise, la fonction en tout ou rien k(x), egale à I dans les grains et à 0 dans les pores, va etre consideree comme une realisation d'une fonction aleatoire stationnaire. Le milieu auquel nous nous interessors est donc (virtuellement) illimité jet statistiquement homogène dans l'espace (stationnaire). La probabilité:

$$p = E [k(x)]$$

pour qu'un point donné x appartienne cur grains est alors une constante p, caracteristique du milieu. Si l'eonvient d'appeler pores l'ensemble complementaire des grains probabilite q = T - p pour que x appartienne aux pores est la sorosité constante du milieu.

A la fonction K(h), definie par lintegrale (I), nous allons substituer la probabilite C(h) pour que les deux points x et x+h appartiennent simultanement aux grains A:

$$C(h) = P(x \in A, x \neq h \in A)$$

Cette fonction ne dépend que de h, et non du point d'appui x, à cause du caractère stationnaire. En h = 0, on a evidemment :

$$C(0) = p$$

Lorsque le module h devient très grand, on constate, en general, que C(h) tend vers p²: en effet, les points x et x+h, etant alors très eloignes l'un de l'autre peuvent etre regardes comme independants. La manière dont C(h) varie de p à p² en fonction du module et de la direction du vecteur h va donc nous présenter un reflet des proprietes structurales du milieu envisage à differentes echelles.

c/ La surface specifique.

La derivée $C_{\infty}^{\prime}(0)$ de C(h) prise en h=0 dans la direction ∞ possede une signification interessante, liee à la surface specifique. Designons, en effet, par ω la surface specifique, et par $d\omega$ la portion de celle-ci qui correspond aux elements d'aire de la surface limite pour lesquels la normale (orientee, par exemple, vers l'interieur des grains) possede une direction comprise dans un angle solude $d\omega$. La relation (3) se transpose immediatement sous la forme :

(6)
$$-C_{\alpha}^{2}(0) = \frac{1}{2} \int |\cos \theta| d\sigma(\omega)$$

et la relation (4) devient de son coté:

(7)
$$-\frac{1}{4\pi} \int_{0}^{1} C_{\alpha}(c) dd = \frac{1}{4} \cdot 6$$

Ainsi donc, il est possible de determiner la surface specifique d'un milieu poreux à partir d'observation effectuees sur lame mince, et meme à partir d'observations purement lineaires. On en verra plus loin des exemples experimentaux. Si le milieu est anisotrope, il est necessaire de disposer de plusieurs lames minces d'orientations differentes, afin d'evaluer la valeur moyenne de -C', (0) pour differentes directions x de l'espace X. Dans le cas particuleir d'un milieu isotrope, C(h) ne depend que du rayon vecteur r et non de la direction x. C', (0) est alors une constante C'(0), et (7) se reduit à:

(8)
$$= -4\dot{C}'(0)$$

Dans le cas où il y a anisotropie, on remarquera que $C_{\infty}^{\prime}(0)$, grandeur à signification directionnelle, contient bien d'avantage d'informations sur la structure du milieu que la surface specifique G, grandeur purement scalaire.

Comme la covariance C(h) a un comportement lineaire au voisinage de l'origine, elle admettra souvent un developpement de la forme :

$$c(h) = C(a) - \sqrt{Z(C_i)} k_i k_j$$
et deute (i.e., for course - C_i (a) = $\sqrt{C_i}$ (a. \sqrt{Z})

(x) designant les cosinus directeurs de h). Le tenseur C, que l'on met ainsi en evidence pourra etre correle avec le tenseur des permeabilites du milieu poreux, ou plutôt avec son inverse, qui est le tenseur des resistivites. (Nous avons indique ailleurs les raisons theoriques pour lesquelles il ne peut pas y avoir de relation fonctionnelle rigoureuse entre ces deux tenseurs)

Remarques. Si le milieu est constitué de plus de deux composantes, on obtiendra de la meme manière la surface specifique de contact du constituant Υ avec le constituant s en derivant la probabilite $C_{\rho, \hat{i}}(\hat{\kappa})$

LZ 🖟

pour que les points x et x+h appartiennent , respectivement, à chacun des constituants l'et s.

Enfin, si l'on etudie un milieu à deux dimensions seulement; la notion de surface specifique cède la place à celle de perimètre specifique 2). Les relations (5) se transposent d'elles-memes, avec des notations evidentes :

(9)
$$\begin{cases} -C_{x}^{2}(0) = \frac{1}{2} \int_{0}^{2\pi} |\cos(G-\alpha)| d[2\lambda(\omega)] \\ -\frac{1}{2\pi} \int_{0}^{2\pi} |\cos(G-\alpha)| d[2\lambda(\omega)] \end{cases}$$

In particulier, dans le ces d'un milieu isotrope, covariance C(r), surface specifique $\mathcal E$, et perimètre specifique $\mathcal E\lambda$ des sections plane s de ce milieu sont lies par la relation instructive :

(10)
$$-c'(0) = \frac{22}{\pi} = \frac{6}{4}$$

d/ La portee.

La derivee de la covariance $C(r; \times)$ en r=0 est liee à la surface specifique du milieu, et renseigne sur les relations de contact de ses constituants. Au contraire, l'integrale de la covariance va nous apporter des informations sur les relations existant à plus grandes distances. On appelle <u>portee</u> d'une fonction aleatoire ergodique et stationnaire la distance a à partir de laquelle les correlations sont pratiquement eteintes, et C(h) pratiquement egale à p^2 . Nous utiliserons une definition plus precise : nous appellerons portée a(x), dans la direction x l'integrale :

(II)
$$a(x) = \frac{2}{hq} \int_{0}^{\infty} \left[C(n,x) - h^{2} \right] dx$$

La porteea a la dimen. In d'une longueur, et possede une signification directionnelle. Elle est liee aux propriétés <u>ergodiques</u> de la fonction aleatoire en tout ou rien k(x). In effet, si nous prenons la valeur moyenne

$$p^{\frac{1}{2}} = \frac{1}{C} \int_{C} k(x) dx$$

de k(x) sur un segment de longueur \tilde{l} et de direction \prec ,nous obtenons un estimateur p^{*} de la probabilité p (du volume occupe par les grains rapporte au volume total), et, lorsque l' devient très grand, la variance de p^{*} est asymptotiquement egale à :

$$D^{2}(p^{k}) = \frac{c(d)}{\ell} hq$$

Elle tend vers 0 comme T/E, pourvu que la portee soit finie. Une portee a elevee indique que l'ergodicite n'est atteinte que lentement (le milieu n'apparait comme statistiquement homogène que sur de grandes distances), ce qui denote l'existence de structures à grande echelle. Nous donnerons plus bas des critères precis, fondes sur la comparaison de la portee et des dimensions granulometriques, qui nous permettront d'apprecier dans quelle mesure une structuration hypergranulometrique existe reellement.

2º/ Granulometries des traversees des pores et des grains.

Nous allons maintenant nous interesser à la morphologie propre des grains et des pores envisages à l'echelle des aimensions "granulometriques", et chercher à la caracteriser à l'aide de paramètres n'exigeant que des observations purement lineaires.

a/ Les moments fonctionnels P(h) et C(h),

Designons par h un vecteur de module r et de direction & ,dont l'origine est prise en un point x de l'espace. Nous appellerons P(h) la probabilite pour que ce vecteur soit tout entier inclus à l'inter

interieur de la composante du milieu que nous designons par l'expression "les grains ".C'est aussi la probabilité pour que ce vecteur ne rencontre pas l'autre composante, celle que nous designons par l'expression " les pores". Symetriquement, nous appellerons Q(h) la probabilité pour que ce meme vecteur soit tout entier contenu dans les pores, ou ne rencontre pas les grains.

On a evidemment:

$$\begin{cases} P(0) = C(0) = p \\ Q(0) = q = I - p \end{cases}$$

et aussi:

$$p_{2}(0) = Q_{3}(0) = C_{3}(0)$$

ainsi que les inegalites $0 \le P(h) \le C(h)$. In fait, h croissant, C(h) tend vers $p^2 > 0$, tandis que P(h) doit tendre assez rapidement vers 0, une fois que le module de h a depasse les dimensions moyennes des grains.

b/ Les granulometries en nombre.

Plaçons sur une droite fixe de direction \times donnée, et adoptons pour abreger des notations à une seule dimension, en ecrivant, par exemple P'(0) au lieu de P' (0) . Sur cette droite, nous voyons se succeder des traversées , de longueurs aleatoires, comprises alternativement dans les grains et dans les pores. Le nombre moyen des traversées des pores (ou des grains) rencontrées par unite de longueur est -P'(0) = -Q'(0) = -C'(0), puisque -P'(0) dh represente la probabilité pour qu'une transition des grains aux pores ait lieu dans le patit intervalle (x,x+dh). La relation (IO) nous a dejà montre comment ce nombre specifique de traversées rencontrées par unité de longueur se relie au perimètre specifique (par unite de

surface) et à la surface specifique (par unite de volume)

(i2)
$$f_{\gamma}(\hat{I}) = -\frac{p''(\hat{e})}{p^{\gamma}(\hat{e})}$$

La granulometrie <u>en nombre</u> des traversees des grains possède une densité de frequence proportionnelle à la derivee seconde du moment fonctionnel P(h). La fonction de repartition F., ou courbe granulometrique cumulee, s'en deduit par integration:

(13)
$$\mathbf{I} - \mathbf{F}_{q}(\hat{\mathbf{I}}) = \frac{P^{q}(\hat{\mathbf{E}})}{P^{q}(\hat{\mathbf{e}})}$$

Cette relation (I3), peut etre demontree directement, et reste valable meme si $P(\hat{x})$ n'est pas deux fois derivable (donc, si la densite $f_{q}(\hat{x})$ n'existe pas) pourvu, bien sùr que $P'(\hat{x})$ existe.

Nous designerons par $\mathbb{E}\left[\left(L_i\right)^n\right]$ le moment d'orure n associe à la granulometrie en nombre des traversées des grains, soit :

$$E\left[\left(L\right]\right] = \int_{0}^{\varphi} \ell^{n} dF_{n}(\ell)$$

Pour n = T, nous obtenons le moment du premier ordre, $E(L_1)$, qui

est la moyenne en nombre des traversees des grains.De (I2) ou de (I3),nous deduisons :

(I4)
$$E(L) = -\frac{\Im(c)}{\Im(c)} = -\frac{1}{\Im(c)}$$

Cette relation prend un sens intuitif evident, si l'on se souvient que -p'(0) répresente le nombre moyen des grains rencontres par unite de longueur.

Pour n > I (nous aurons surtout à considerer les cas n = 2 et n = 3)des integrations par parties effectuees sur (I2) ou sur (I3) nous donnent :

(I5)
$$\mathbb{E}\left[\left(\mathbf{L}_{1}\right)^{n}\right] = -\frac{n(n-1)}{P^{1}(c)} \int_{C}^{\infty} e^{n-c} P(\ell) d\ell$$

Au lieu de la traversee L des grains, dont la granulometrie est $F_{\cdot}(\vec{L})$, on peut s'interesser à la traversee L des pores, dont la granulometrie sera designee par $F_{\cdot}(\vec{L})$.Les relations (I2) à (I5) subsistent, à condition de remplacer partout $P(\vec{L})$ par $Q(\vec{L})$, et l'indice T par l'indice T par l'indice T particulier, la valeur moyenne en nombre des traversees des pores est :

(16)
$$E(L_z) = -\frac{\varphi(c)}{\varphi'(c)} = -\frac{q}{\varphi'(c)}$$

Comme P'(0) = Q'(0) = C'(0) represente le nombre moyen des grains (ou des pores)rencontres par unite de longueur, nous deduisons de (14) et de (16):

(I7)
$$\begin{cases} -C'(0) = \frac{1}{\varepsilon(L_0 + L_1)} \\ p = \frac{E(L_1)}{\varepsilon(L_0 + L_1)} \\ q = \frac{\varepsilon(L_0)}{\varepsilon(L_0 + L_1)} \end{cases}$$

Le sens intuitif des relations () est parfaitement clair :les

probabilites p et q = I - p sont proportionnelles aux traversees moyennes (en nombre) des grains et des pores, tandis que le nombre total de grains rencontres par imite de longueur est evidemment egal à l'inverse de la somme des longueurs moyennes traversees dans les grains et dans les pores.

c/ Granulometries en longueur.

Au lieu de compter pour I chacune des traversees des grains, nous pouvons lui attribuer un poids proportionnel à sa longueur L_q ; au lieu de la densite de frequence f_q ((), nous obtenons alors une nouvelle densite g (f) qui vaut :

(18)
$$g_{1}(t) = \frac{t}{E(t_{1})} f_{1}(t_{1})$$

A cette densité g (() correspond une fonction de repartition, ou courbe granulometrique cumulée, $G_{_{1}}($ () .Compte tenu de (I2) et de (I7) nous obtenons sans peine :

(I9)
$$I = G_{\gamma}(\hat{\epsilon}) = \frac{1}{\gamma} \left[P(\hat{\gamma}) - (P'(\hat{\epsilon})) \right]$$

relation que l'on peut aussi obtenir directement par un raisonnement probabiliste elementaire : en effet, $p[T-G_n(t)]$ represente la probabilite pour qu'un point donne x appartienne à un segment de longueur egale ou superieure à l'et contenu dans les grains. Cet evenement peut se realiser de deux manières incompatibles, à savoir : ou bien l'intervalle (x,x+l') est dans les grains, ce qui a lieu avec la probabilite P(l'); oubien l'intervalle (x-h,x-h+l') est dans les grains, tandis que x-h+l'+dh tombe dans les pores (le point x-h+l' est un point limite), ce qui a lieu avec la probabilite

$$-\int_{C}^{\ell} P^{\flat}(\dot{\ell}) dh = -\hat{I} P^{\flat}(\dot{\ell})$$

Inversement, on peut reconstituer le moment $P(\hat{I})$ à partir de la

granulometrie en longueur G (1) .On trouve :

(20)
$$P(t) = p \int_{t}^{\infty} \frac{y-t}{t} dG_{n}(y)$$

Ici encore, cette relation peut se retrouver par un raisonnement direct. Lorsque l'on sait qu'un point x appartient à une traversee des grains de longueur comprise entre y et y = dy, ce qui a lieu avec la probabilite pdG (y), l'un des extremites de cette traversee (par exemple l'extremité droite) peut tomber n'importe où sur le segment (x,x+y) avec une egale probabilite. Il y a donc une probabilité $\frac{y-\ell}{\ell}$ (a vec $1 \le y$) pour que cette extremite tombe à une distance de x superieure à 1 . Le theorème de sprobabilités composées conduit alors immediatement à la relation (20).

Avec cette granulometrie $G_q(\xi)$ exprimee en mesure (en longueur) et non en nombre, nous pouvons definir des moments que nous designerons par le symbole \mathcal{M} :

Compte tenu de (I8) et de (I5), les moments en mesure se deduisent des moments en nombre par les relations : ${\cal F}$

(2I) If
$$[(L_1)^n] = \frac{E[(L_1)^{n+1}]}{E(L_1)} = \frac{n(n+1)}{k} \int_{0}^{k} P(\ell) d\ell$$

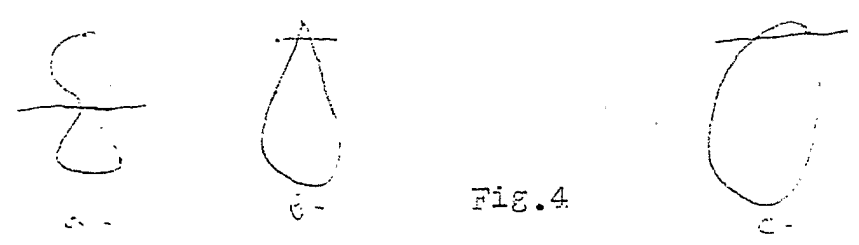
On transposera sans difficulté les definitions precedentes à la granulometrie (en longueur) $G_{z}(f)$ de la traversee des pores, ainsi qu'aux moments $\mathcal{M}(L_{z})^{n}$ associes.

On ne perdra pas de vue que ces granulometries et leurs moments possedent une signification directionnelle, puisu'ils dependent de la direction de la droite sur laquelle on a effectué les observations. Nous allons maintenant examiner leur signification structurale. En dérivant P(i) ou Q(1), nous obtiendrons des renseignements sur la

courbure ou l'angulosite des grains et des pores. En integrant, au contrairenc'est à dire en utilisant les moments (2I), nous mettrons in training leurs dimensions moyennes, en longueurs, en surface et en volume.

d/ Courbure moyenne et angulosite.

Examinons, en premier lieu, le comportement au voisinage de l'origine de la granulometrie (en nombre) des traversees des grains. Une traversee des grains, de longueur inferieure à une quantite petite Î, peut correspondre (Fig.4) soit à un isthme etroit, soit à une terminaison anguleuse, soit enfin à une terminaison arrondie d'un grain possedant un rayon de courbure superieur à I



PRIMITIENTEMNESS Supposons, en premier lieu, qu'il ny ait ni isthmes etroite, ni terminaisons anguleuses. Parmi le nombre total des traversees de longueur inferieure à I, qui est proportionnel à $-P'(0)F_1(t)$, un grain, tel que celui que nous avons represente sur la figure 4-c, apporte une contribution proportionnelle à $\frac{e^2}{2R}$. Si donc $\frac{1}{2}$ Add designe le nombre moyen de ces terminaisons arrondies observées dans la direction R et par unite de surface, (nous examinarons plus loin le sens de ce nombre specifique de convexite, et la manière dont on peut le determiner experimentalement), nous aurons :

$$\hat{\nabla}_{\tau} \frac{\hat{\xi}^2}{3} E(\frac{1}{R}) = -P^*(0) F_{\tau}(\hat{t})$$

 $\mathbb{E}(\frac{1}{R})$ designant la valeur moyenne de la courbure T/R de ces terminaisons arrondies.Par consequent, la densite $f_{1}(\frac{1}{R})$ s'annule en $\hat{\mathbb{F}}=0$ et l'on a :

(22)
$$f(0) = 0$$

$$f'(0) = -\frac{\nabla f}{G(0)} E\left(\frac{d}{G}\right)$$

Ainsi, l'absence d'isthmes etroits et de terminaisons anguleuses se traduit par une densite $f(\xi)$ nulle à l'origine, et la pente $f_{\eta}^{*}(0)$ à l'origine de l'histogramme est alors proportionnelle à la valeur moyenne de la courbure.

Au contraire, s'in existe des isthmes etroite ou des terminaisons anguleuses, on verifie facilement que $F_{i}(\ell)$ a un comportement lineaire à l'origine, autrement dit que la densite $f_{i}(\ell)$ ne s'annule pas en $\hat{I}=0$ Ainsi $f_{i}(0)$ constitue un indice de l'angulosite des grains.

Exemple. Lorsque les grains ont une forme convexe bien affirmee, et meme si deux grains peuvent eventuellement se rencontrer, on a f(0) = 0, mais les pores, qui constituent le negatif de ces figures convexes, presentent des angulosités, et f(0) n'est pas nul.

Il en est ainsi dans les <u>schemas semi-markoviens</u>, que nous avons etudie; dans l'ouvrage dejà cite.Rappelons rapidement leur definition. On dit qu'un ensemble C separe deux ensembles E et E' si tout segment de droite joignant un point de E et un point de E' rencontre C en un point au moins. Un milieu poreux aleatioire est alors dit semimarkovien (vis à vis des pores) s'il y a independance conditionnelle entre tout evenement interessant E et tout evenement interessant E' lorsque l'on sait que I est contenu dans les pores. Le procede le plus simple possible pour fabriquer un schema semi-markovien consiste à implanter au hasard dans l'espace(ou le plan) des figures aleatoires convexes, (schema booleex à grains primaires convexes), etant entendu que ces figures peuvent très bien se rencontrer. On demontre que, dans un schema semi-markovien, la granulometrie, en nombre, des traversees

- ZT

des pores pheit toujours à une <u>loi exponentielle</u> de densite $f(e^{-}f(e^{-f}(e^{-f(e^{-f(e^{-f(e^{-f(e^{-f(e^{-f}(e^{-f(e^{-f(e^{-f(e^{-f}(e^{-f(e^{-f}(e^{-f(e^{-f}(e^{-f(e^{-f}(e^{-f(e^{-f}(e^{-f(e^{-f}(e^{-f(e^{-f}(e^{-f(e^{-f}(e^{-f}(e^{-f(e^{-f}(e^{-f(e^{-f}(e^{-f(e^{-f(e^{-f}(e^{-f(e^{-f}(e^{-f}(e^{-f}(e^{-f(e^{-f}(e^{-f(e^{-f}(e^{)$

On notera qu'une loi exponentielle pour les traversees des pores (en nombre), souvent verifiee approximativement en pratique, correspond à un ces ideal, où l'opposition entre les grains convexes "positifs", et leur ciment indifférencié "negatif" se presente sous sa forme extreme. Chaque fois, au contraire, que la densité f_c(l) est nulle à l'origine, on peut conclure que les pores commencent à affirmer leurs formes propres aux depens des grains.

e/ L'Et lie des grains et l'Etoile des pores,

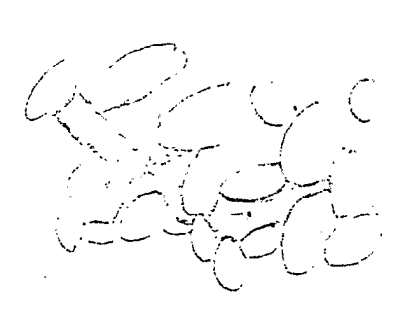


Figure 5

Considerons la figure 5. Nous y avons represente des grains, d'ailleurs convexes,
et un point x des pores. A ce point, nous
avons associe l'ensemble des points des
pores qu'il peut voir directement, c'est
à dire l'ensemble des points y tels que
le segment (x,y) soit contenu dans les
pores. La figure obtenue presente la

forme d'une étoile. Nous designerons donc par $S_c^{\frac{3}{2}}$ <u>l'étoile des pores,</u> c'est à dire la valeur moyenne de l'aire que l'on peut voir directement à partir d'un point des pores. De mene, on designera par $L_c^{\frac{5}{2}}$ et $V_c^{\frac{5}{2}}$ les étoiles à une et trois dimensions (longueur et volume vus, en moyenne, à partir d'un point des pores), et on définira de la meme manière l'étoile des grains $L_c^{\frac{1}{2}}$, $S_c^{\frac{1}{2}}$ ou $V_c^{\frac{1}{2}}$, selon le nombre des dimen-

sions que l'on prend en considération.

Lorsque les grains sont convexes et disjoints, tout point x des grains voit directement les points du grain auquel il appartient, et ceux-là seulement. Dans ce cas-là, on a :

$$L^{T} = \partial \pi (L_{A})$$

$$S_{A}^{T} = \partial \pi (S_{A})$$

$$V^{T} = \partial \pi (V_{A})$$

A deux dimensions, l'etoile S represente la valeur moyenne de la surface d'un grain convexe pour une granulometrie en mesure (dans laquelle chaque grain compte pour un poids proportionnel à sa surface). A trois dimensions, l'etoile V represente de meme le volume moyen d'un grain convexe pour une granulometrie exprimee en volume.

Ainsi, dans le cas de grains convexes et disjoints (et dans ce cas là seulement, semble-t-il), il est possible de determiner la surface moyenne et le vomlume moyen des grains, correspondant à des granulometries exprimees en mesure, à partir d'observations purement lineaires. En outre, on notera qu'il n'est pas necessaire de connaître le nombre des grains presents par unite de surface ou de volume, que des observations purement lineaires ne permettraient d'ailleurs pas de determiner à elles seules.

L'etoile, en effet, se relie de manière simple à la granulometrie g(1) exprimee en longueur. Notons que $g(\frac{\pi}{2})$ est en realite de la forme $g(\frac{\pi}{2}, m_1)$, puisque la granulometrie des traversees depend de la direction m_1 selon laquelle celles-ci sont mesurees.

En ce qui concerne $L_1^{\frac{n}{2}}$, tout d'abord, on note qu'un segment d $\hat{L}_2^{\frac{n}{2}}$ place à la distance $\hat{L}_2^{\frac{n}{2}}$ d'un point x des grains appartient à l'etoile

lineaire de x avec une probabilite (conditionnelle) egale à 1 P(?) $\overline{\mathbb{A}}$ Nous avons donc, en tenant compte de (SI):

(55)
$$L_{i}^{"} = \frac{2}{h} \int_{-r}^{r} P(t) z(t - h(t-1)) dt$$

Passons à l'étoile S_i^* à deux dimensions. L'element d'aire france appartient à l'étoile d'un point x des grains avec une probabilite conditionnelle égale à $\frac{1}{i}$ P(r, 4) dr . Par suite, il vient g:

$$s_{j}^{*} = \frac{2}{7} \int_{0}^{2\pi} dA \int_{0}^{2\pi} 2 P(n, n) dn$$

D'après (21), l'integrale de l'apper suite :

Pour obtenir une expression condensee, nous pouvons designer par $(-1)^{\frac{1}{2}}$ la valeur moyenne relativement à 4 du moment d'ordre 2 pris dans la direction 4. On trouve alors :

(24)
$$s_{1}^{*} = \frac{1}{3} \text{ otherwise}$$

Enfin, pour l'etoile à trois dimensions, on fera de la meme manière apparaître la valeur moyenne $JH_{-}(1,1)^{3}$ du moment d'ordre 3 pris dans les differentes directions de l'espace, et on trouvera :

$$v_{i}^{*} = \frac{1}{2} \left[\left(L_{i} \right)^{3} \right]$$

De meme, la toile des pores se relie à la granulometrie (en longueu) des traversees des pores par les formules :

(26)
$$\begin{cases} L_{0}^{2} = -2\pi (L_{0}) \\ S_{0}^{\pi} = -\frac{\pi}{3} - 2\pi (L_{0})^{2} \end{cases}$$
$$\begin{cases} V_{0}^{\pi} = -\frac{\pi}{3} - 2\pi (L_{0})^{2} \end{cases}$$

f/ Relation entre l'etoile et la portee.

In l'absence de strustures à grande echelle, on se rend compte que la portee a (dans une direction donnée) doit être du meme ordre de grandeur que les étoiles L'et L'des grains et des pores. Pour obtenir un critère plus precis, nous pouvons prendre comme reference la valeur que prendrait la portee dans l'hypothèse où les traversées des grains et des pores qui se succedent le long d'une meme droite sont des variables aleatoires indépendantes. La théorie des processus de renou vellement permet de montrer que, dans cette hypothèse, la portée vaut :

(27)
$$a_{12} = p \frac{\partial^{2}(L_{0})}{E(L_{0})} + q \frac{\partial^{2}(L_{1})}{E(L_{1})}$$

(moyennes et variances se rapportant aux granulometries en nombre), ce que l'on peut ecrire aussi :

$$\epsilon_{+} = \left[\left[\left(\sum_{i=1}^{n} \left(\sum_$$

Cette portee depend, de manière très significative, de la difference entre les moyennes en longueur et en nombre.

En particulier, pour un schema semi-markovien (relativement aux pores), la granulometrie des traversees des pores est exponentielle, de sorte que l'on a :

$$\frac{\mathcal{D}^{2}(L_{2})}{\mathcal{E}(L_{3})} = \mathbb{E}(L_{3}) = \frac{9}{7} \mathcal{E}(L_{3})$$

et (27) prend alors la forme très simple :

(28)
$$a_{xy} = q \text{ Yil}(L_1) = q L_1^{*}$$

La relation (28) entre l'étoile et la portée caracterise à la fois l'absence de structures à grandes echelle, et une individualismition des grains poussee à l'entreme aux depens des pores. La relation plus generale (27) indique encore l'absence de macrostructures, mais

permet aux pores d'affirmer librement leurs formes propres. Si la portee a depasse la valeur de reference a , l'existence de macrostructures est certaine.

Il peut egalement arriver que a soit inferieur à a, ou meme que l'on Lit $\alpha = 0$.Cette circonstance traduit l'existence d'un effet compensateur, selon lequel un grand grain est suivi en moyenne par un grand pore, et inversement. La fonction C(h) presente alors un effet de trou très caracteristique. On a pu observer ce genre de phenemene en etudiant la migration de la calcite dans le gisement de fer lorrein : chaque germe ressemble autour de lui la colcite diffuse dans son voisinage, de sorte qu'à la fin du processus les concretions calcaires sont separees par des intervalles grossièrement proportionnels à leurs tailles.

Très schematiquement, et à une seule dimension, on peut imaginer que



Fig.6

la t neur initiale p en calcaire etait constante dans le gisement. Des germes se sont ensuite mis en place au hasard, avec une densite poissonienne 7, ,et chacum d'eux a rassemble la tatalité de la calcite disponible à sa droite jusquau germe suivant; si È est la distance entre deux germes, on voit se succeder les longueurs p $\hat{\Gamma}$ de calcite et cl de minerai.Les granulometries sont exponentielles :

$$\delta(y) = \delta e$$

$$\delta(y) = \delta e$$

$$\delta(y) = \delta e$$

Pour la covariance , ontrouve :

 $C(y) - b = \frac{y^2}{y^2} = y^{\frac{2}{3}} + \frac{y^2}{4^{\frac{3}{3}}} = y^{\frac{3}{3}}$

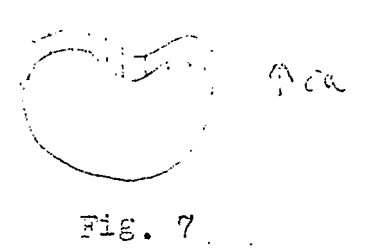
et l'integrale $\int (1/4)^n - r^{-1} dr$ est nulle. On trouve donc a = 0.Ce resultat est une consequence directe de l'hypothèse faite sur la constance de la teneur initiale p en calcite. Les migrations ulterieures n'ont derange cette constance qu'à des echelles de l'ordre de I/ γ . Pour des distances plus grandes, il y a un effet compensateur très puissant. La variance de l'integrale $\frac{1}{r} \int_{C} k(x) dx$ decroit ici plus vite que $\frac{1}{r} \int_{C} k(x) dx$ decroit ici plus vite que $\frac{1}{r} \int_{C} k(x) dx$ decroit ici portee a est nulle.

IT-AM LYSIS SITUS DES GRANOLOMETRIES PL-NES

Dans cette deuxième partie, nous allons escayer de caracteriser l'individualité des grains et des pores du point de vue de la connexité et de la convexité, en nous limitant au cas d'un milieu à deux dimensions (lame mince). Contrairement aux notions introduites dans la prémière partie, les parametres que nous allons définir ne peuvent plus etre determines à partir d'observations purement lineaires. Il faut disposer au moins d'une amorce de deuxième dimension, c'est à dire, pratiquement, pouvoir effectuer des observations d'inultanement sur deux droites parallèles très voisines. Il conviendra donc d'examiner et de discuter les procedes permettant de determiner ces paramètres à l'aide d'appareils du type de l'analyseur de textures de J.Serra.

I°/ Le nombre specifique de connexite.

La notion topologique la plus simple qui traduise l'idee d'individu est celle de composante connexe. Dans un milieu compose de deux
constituants -un ensemble A et son complementaire À -nous pouvons
appeler grains individuels les ensemble connexes (d'un seul tenant)
maximaux formes de points de A. Par definition,ici, deux grains ne
peuvent se rencontrer (s'ils se rencontrent,ils constituent un grain
unique). Nous avons donc ici une notion parfaitement claire,mais
assez pauvre : elle ne tient,en effet, aucun compte de la plus ou
moins grande complexite morphologique des grains /



En vue d'expliciter cette notion, onsiderons d'abord un grain <u>simplement connexe</u>, (ne contenant pas d'enclave). Nous avons dejà caracterise ce grain par une fonction K(h) definie en (I), et

et note que la derivee -K'(O) representait la projection sur une direction perpendiculaire à χ des elements d'arc constituant son contour. Nous allons faire varier cette quantite. Considerons, en effet, un petit vecteur \hat{f} a perpendiculaire à χ , et le translate A_{cq} notre grain A. Si nous remplaçons A par la reunion $A_{c}^{\dagger}A_{c}^{\dagger}$ (si nous dilatons le grain selon le vecteur \hat{f} a), la projection des elements d'arc du contour sur la direction de \hat{f} a augmente d'une quantite exactement egale à \hat{f} a. Si, au contraire, nous remplaçons A par l'intersection $A_{c}^{\dagger}A_{c}^{\dagger}$, (si nous erodons le grain selon \hat{f} a) cette projection diminue de cette meme quantite \hat{f} a, et celà quelle que soit la forme convexe ou non de notre grain. Plaçons nous dans le cas d'une dilatation. Nous trouvons :

$$\mathcal{Z}\left[-K^{2}(0)\right] = \mathcal{Z}a$$

Si, au lieu d'un grain, nous avons n grains simplement connexes, la variation du $-K_{\perp}^{*}(0)$ sera, de la meme manière :

$$\left[-K_{\mu}^{2}(0)\right] = n \left[a\right]$$

Mais, si les grains ne sont pas simplement connexes, c'est à dire s'ils contiennent des enclaves, celles ci se comportent negativement, et l'on fait apparaître la difference n - i entre le nombre n des grains et le nombre i des enclaves qu'ils contiennent.

pans la formulation probabiliste, si l'on designe par ½ le nombre specifique de connexite, egal au nombre de grains, dans l'hypothèse où ceux-ci ne contiennent pas d'enclave, ou plus generalement à la difference entre les nombres de grains et d'enclaves contenus dans l'unite de surface, et si l'on designe par C(h) la covariance, on obtient:

$$\widehat{\mathcal{C}} \left(-C_{2}^{2}(0) \right) = \widehat{\mathcal{V}}_{2} \widehat{\mathcal{C}} \mathcal{A}$$

Ainsi donc, pour determener le nombre specifique de connexite, il il suffit de connaître la variation du $-C'_{\zeta}(0)$ pour une petite dilatation vectorelle des grains $\tilde{\zeta}$ a .On remarque ,d'ailleurs, que $\tilde{\chi}_{\zeta}$ est independant de la direction χ_{ζ} consideree.

Si l'on effectue l'erusion de A par a a,c'est à dire l'intersection A A. A., on retombe sur les relations precedentes, à condition d'attribuer à l'a un signe negatif. Experimentalement, toutefois, cette coin cidence ne subsiste que si la est très petit. Mais, dans le cas d'un appareil functionnant par balayage discontinu, la est impose :c'est la maille du balayage. Elle possède une valeur petite, mais non pas infiniment petite, de sorte que les deux definitions de va (par dilatation et par erosion) risquent de conduire à des resultats legèrement differents.

L'origine de cette petite difficulte apparait sur la Figure IO.

qu'un seul. En effet, vis-à-vis de l'erosion, les seules connexions a utorisées entre les grains sont des connexions selon les lignes ou les colonnes, tandis que la dilatation autorise egalement les liaisons selon les diagonales.

Dans ce qui suit, nous adopterons plutot le point de vue de la dilatation, conformement à la representation spontance selon laquelle les grains constituent la composante forte, et apparaissent en relief dans le milieu.

Pour evaluer $C_{*}^{2}(0)$ avant dilatation, on doit faire l'inventaire des configurations 0 + rencontrees dans le balayage du milieu. Designons par N(0+) leur nombre, et par N le nombre total d'observations. On N a :

$$-C_{\lambda}^{\bullet}(0) = \frac{\sqrt{(c+1)}}{\sqrt{c}\alpha}$$

Après la dilatation, on doit, pour evaluer la nouvelle valeur $-C_{\infty}^{2}(0) + \frac{1}{2}\left[-C_{\infty}^{2}(0)\right]$, faire l'inventaire des configurations :

Si N' designe leur nombre, on aura donc :

$$S_{c} = \frac{N' - N(OT)}{N(JA)^{\frac{1}{2}}}$$

Remarquons, d'ailleurs, que la configuration $0 \div$ se decompose en quatre configurations portant sur quatre .. points :

La première et la deuxième de ces configurations interviennent de jà dans le decompte de N'. Les deux dernières equivalent à la configuration unique : $0 \div$. Nous avons donc :

$$N_{c} = \frac{N(\frac{2}{5}, \frac{7}{5}) - N(\frac{7}{5})}{N(\frac{7}{5})^{2}}$$

Le sens de cette relation est assez clair : on doit prendre la différence des nombres d'angles droits saillants et d'angles droits rentrants separant un pore au S.O. et un grain au N.E. Cette différence est egale à l'unite pour chaque grain simplement connexe.

Si nous avions adopte la deuxième definition, (erosion des grains) selon la et, correlativement, dilatation des pores), nous aurions trouvé la valeur plus forte :

La difference entre les deux est naturellement imputable au nombre $0 \div (1 + 0)$ $0 \div$

Lorsque les grains sont simplement connexes, en effet, % represente le nombre des composantes connexes des grains. Mais si les grains contiennent des enclaves, celles-ci se comportent negativement : pour une dilatation du grain, le contour de l'enclave est reduit, et non augmente de la Ainsi la signification generale de la est la suivante : Le nombre specifique de connexite represente dans le cas general, le nombre des grains connexes diminue du nombre des enclaves cu'ils contiennent. Ou encore, si nous faisons abstraction d'une des composantes des pores (celle qui joue le role du fond general au sein due quel s'individualisent les grains que l'on voit en relief), le nombre y, represente la différence entre les nombres des composantes des grains et des pores. Il ne permet pas de connaître chacun de ces nombre separement.

Indiquons encore, rapidement, une autre signification de $\frac{1}{2}$. Dans un milieu à trois dimensions, $\frac{1}{2}$ ($\frac{1}{2}$) est une fonction de la direction de la normale du plan de la section à deux dimensions dans laquelle on a determine ce nombre de connexité. La valeur moyenne

$$\overline{P}_{c} = \frac{1}{4\pi} \int P_{c}(c) dc$$

de ce nombre pour toutes les directions de l'espace est liee à l'integrale de la courbure moyenne $\frac{1}{2}\left(\frac{1}{K_\eta}+\frac{1}{K_z}\right)$ de la surface de separation des grains et des pores. En s'appuyant sur un theorème classique de Meusnier, on peut, en effet , demontrer que l'on a :

$$\frac{1}{\sqrt{2}} = \frac{1}{2\pi} E(CC)$$

$$\frac{1}{\sqrt{2}} = \frac{1}{2} \int \left(\frac{1}{C_1} + \frac{1}{R_2}\right) dS$$

l'integrale definissant (etant etendue à la surface de separation ; contenue dons le volume unité. Il est essentiel de noter que la courbure moyenne est prise ici algebriquement.

20/ Nombres specifiques de convexite des grains et des pores.

Nous allons maintenant envisager la notion d'individualite du point de vue de la convexité, en partant de la representation spontanée selon laquelle grains et pores entrent en conflit pour s'affirmer

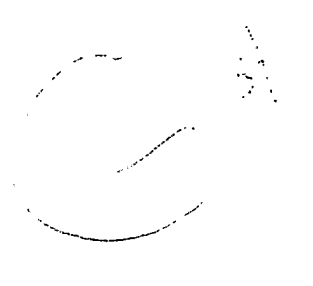


Fig. II

sous forme convexe. Nous voyons, sur la figure
II un grain lancer deux pseudopodes à l'assaut
des pores. Chacun d'eux constitue une ebauche
d'individualisation. Ce grain, du point de vue
de la convexite, doit compter pour plus de I,
et cependant pour moins de 2, puisque ces deux
ebauches n'ont pas abouti à une separation

complète, mettons qu'il soit equivalent à I,5 grains convexes. Mais ces deux pseudopodes, du fait meme qu'ils tendent vers une existence autonome, sont separes l'un de l'autre par une langue ou une avancée convexe des pores à l'interieur des grains. Le point de vue se renversce et nous sommes maintenant tentes de dire que les pores s'efforcent de conquerir une individualite aux depens des grains. Il ne s'agit,

cesendant, là aussi, que d'une ebauche inachevee, equivalente , par exemple, à la moitie d'un individu convexe. La difference entre les nombres d'individus convexes equivalents aux grains et aux pores,ici T,5 - 0,5 = I ,doit rester constante et egale à l'unité (c'est à dire au nombre d'individus connexes), tent que les deux pseudopodes ne se rejoignent pas, et tant que l'avancee des pores ne parvient pas à couper en deux le grain queelle attaque. Cette constance, qui exprime la solidarite des grains et des pores dans leurs efforts antagonistes vers la forme convexe, va se trouver brusquement rompue si l'avancee des pores parvient à traverser le grain de part en part, et perd ainsi brusquement son individualite :il y a alors deux grains disjoints, mais plus aucune tendance des pores vers la convexite. Nous sommes passés brusquement de +T à +2. Au contraire, si les deux pseudopodes emis par le grain parviennent à se rejoindre ils perdent d'un seul coup leur debut d'autonomie. Mais comme ils ont encercle une enclave, c'est à dire un individu complet des pores, le nombre de connexite est passe cette fois brusquement de +T à 0 . Donnons de ces notions une definition geometrique plus precise.

a/ La rotation de la normale. Soit de un element d'arc du contour separant des pores le grain de la figure II, et R son rayon de courbure Là où le grain a un comportement convexe, le centre de courbure tombe du cote du grain, et R est positif. Là, au contraire, où le grain a un comportement concave, le centre de courbure tombe dans les pores, et R est negatif. D'autre part $d_R = \frac{d_R}{R}$ represente la rotation de la normale, et ce patit angle est positif ou negatif en meme temps que R. Si donc nous posons ${}^{\circ}$

(32)
$$N_0 = \frac{1}{2\pi} \int_{R > 0} \frac{dx}{R}$$

$$N_0 = \frac{1}{2\pi} \int_{R < 0} \frac{dx}{1R}$$

nous obtenons deux nombres positifs. N₄ vaut I si le grain est parfaitement convexe, et N est superieur à I si le grain possède des concevites. N ,de meme, est lie à ces concavites des grains, qui sont des convexites pour les pores. Comme la rotation totale de la normale, comptee algèbriquement, le long d'un contour simple ferme vaut toujour 2 2 m, om a ici:

$$N_{\chi} - N_{\phi} = \frac{1}{2\pi} \int \frac{\langle \psi \rangle}{\chi} = 1$$

Ces notions se transposent sans peine sous une forme probabiliste.

Hous appellerons noubre specifique de convexite des grains \(\), l'

esperance mathematique de la rotation positive de la normale (divisee

par 8 m), lorsque l'on decrit les contours separant les grains et le s

pores contenus dans l'unite de surface. De meme, nous appellerons

nombre specifique de convexite des pores \(\), l'esparance de la rotation

negative de la normale (divisee par 2 m) \(\).

(55)
$$\begin{cases} 1 = \frac{1}{2\pi} \in \int_{\mathbb{R} \times C} \frac{ds}{R} \end{cases}$$

$$\begin{cases} 1 = \frac{1}{2\pi} \in \int_{\mathbb{R} \times C} \frac{ds}{R} \end{cases}$$

Les integrales sont prises, respectivement, sur les portions positive et negatives de la ligne saparant les grains et les pores contenus dans l'unite de surfaceM.

Le nombre specifique de connexite $\frac{1}{2}$, lie à la rotation totale de

la normale (comptee algebriquement) apparaît alors comme la difference des deux nombres precedents :

$$(54) \qquad \qquad \gamma_{ij} = \gamma_{ij} \quad \qquad (64)$$

The description experimental Considerons, sur la figure II, une droite D et sa normale (orientee) de direction x. Lorsque D balaye le plan, dans la direction de sa normale, cette droite rencontrera separément chacun des deux pseudopodes. Pour ce balayage, tout se passe comme s'il existait deux grains distincts. Pour un balayage ceffectue dans une autre direction, par exemple dans la direction opposée + T, le grain de la figure II n'est rencontre qu'une fois. Designons par N (...) le nombre apparent des grains rencontres dans un balayage effectue dans la direction x, et cherchons à evaluer sa valeur moyenne pour toutes les directions x, c'est à dire l'integrale :

$$\frac{1}{2\pi}\sqrt{N(4)} \, d4$$

Soit as un element d'arc du contour. Si R est negatif, c'est à dire s'il s'agit d'un arc concave pour le grain, cet arc n'apparaitra pour aucune direction ∞ comme le germe d'une nouvelle composante des grains venant à naître sur D au cours du processus de balayage. Si R est positif, l'arc est convexe, et, la rotation de la normale etent d $\omega = \frac{30}{2}$, cet arc apparaîtra comme un germe chaque fois que la direction du balayage tombera dans cet angle d $\omega = \frac{30}{2}$. Ainsi, la valeur moyenne du nombre N ω est egale au nombre de convexite N, du grain:

$$\frac{1}{2\pi} \int_{0}^{\infty} N_{q}(x) = \frac{1}{2\pi} \int_{\mathbb{R}>0} \frac{ab}{k} = N_{q}$$

On designers, de la meme manière, par $N_z(x)$ le nombre apparent des pores rencontres dans le balayage, et la valeur moyenne de $N_z(x)$ est

egale au nombre H. de convexite des pores:

$$\mathbf{M}_{i} = \frac{1}{2\pi} \int_{-\infty}^{\infty} W_{i}(\mathbf{x}) d\mathbf{x}$$

pans la presentation proballiste, enfin, on introduit les nombres specifiques . (...) et \cdot (\cdot) des grains et des pores rencontres par unite de surface dans le balayage effectue selon la direction \propto , et les nombres specifiques s'en deduisent par les relations :

(55)
$$\begin{cases} \hat{y}_{i} = \frac{1}{2\pi} \int_{0}^{2\pi} \hat{y}_{i}(\lambda) d\lambda \\ \hat{y}_{i} = \frac{1}{2\pi} \int_{0}^{2\pi} \hat{y}_{i}(\lambda) d\lambda \end{cases}$$

Ces nombres $\{(x) \text{ et } \{(x) \text{ sont accessibles experimentalement.}$ pour un balayage effectue du Sud vers le Nord $\{x = \frac{11}{2}\}$, il suffit, en effet, de faire l'inventaire des configurations :

pour obtenir $\mathbb{N}(\mathbb{N})$. En ce qui concerne \mathbb{N} , qui se rapporte à la composante consideree comme faible (les pores), pour laquelle les connexions diagonales ne sont pas autorisées, le balayable effectue du Nord vers le Sud permet d'evaluer $\mathbb{N}(-\frac{\pi}{2})$ en faisant l'inventaire des configurations :

On verifiers sans peine que la différence entre les nombres des configurations utilisées pour déterminer $V_{\frac{1}{2}}(+\frac{\pi}{2})$ et $\hat{V}_{\frac{1}{2}}(-\frac{\pi}{2})$ coincide avec le nombre

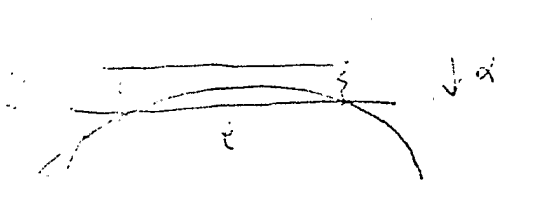
qui sert à l'estimation du nombre specifique de connexite $\frac{7}{6}$. On a donc toujours la relation suivante, plus precise que (34):

$$(56) \qquad \qquad \mathring{Y}_{c} = \mathring{Y}_{a}(\alpha) - \mathring{Y}_{a}(-\alpha)$$

Ayant determine $V_1(x)$ et $V_2(-x)$ pour differentes directions x, on en deduit, en prenant les valeurs moyennes en x, une estimation des nombres specifiques de convexité V_2 et V_2 .

c/ Loi des rayons de courbure, L'inventaire des configurations du

permet de construire une granulometrie (en nombre) des traversées marginales des grains. Il est clair qu'une telle granulometrie est en relation etroite avec la loi de repartition du rayon de coubbure R du suntour (limite aux portions R) 0)



Soit, en effet, $\psi_{\alpha}(\hat{\gamma})$ la fonction de repartition associée à cette granulometrie (elle depend de α), et par consequent l'expression :

represente le nombre total des traversees marginales dont la longueur depusse $\hat{\mathbf{r}}$.

Chaque terminaison convexe d.s grains dont la normale positive possède la direction x apporte à ce total une contribution egale à :

$$\frac{e^2}{\sqrt{R}}$$
 si le rayon de courbure R > $\frac{e^2}{\sqrt{R}}$ si ... R < $\frac{e^2}{\sqrt{R}}$

Par suite, si nous designons par $\psi_{i}(r)$ la probabilite pour que le rayon de courbure d'une terminaison donnée soit inferieur à une valeur r, nous obtenons la relation :

(37)
$$V_{1}(\lambda) \left[1 - \overline{\Psi}_{1}(\xi)\right] = V_{1}(\lambda) \int_{\mathbb{R}^{2}} \left[1 - \frac{\mu^{2}}{8REa}\right] d\Psi_{1}(R)$$

Ainsi, le loi (R) de repartition des rayons de courbure, correspondant à une direction A donnée de la normale, se relie de manière simple à la granulometrie (L) (C) des traversees marginales. Pour empliciter cette relation, nous devons rese dre l'equation integrale (57). Designons par

$$\mathcal{L}_{q}(t) = \frac{d}{dt} \overline{\mathbb{Q}}_{q}(t)$$

la densite de frequence associee à $\overline{\Psi}_4$,et derivons (37)en f .Il vient

$$\mathcal{P}_{n}(i) = \frac{e}{4\pi i} \int_{\mathbb{R}^{3}}^{\infty} \frac{1}{R} d\psi_{n}(R)$$

Differentiant à nouveau en 2, nous obtenons après un changement de variables evident, la relation cherches, qui est:

$$\gamma - \frac{1}{4}\left(\frac{e^2}{600}\right) = -\frac{1}{2}\frac{d}{de}\left[\frac{\mathcal{E}_{i}[E]}{e}\right]de$$

Une integration pur purties nous permet de mettre cette relation sous la forme plus maniable suivante :

$$(58) \quad 1 - \psi_{\eta} \left(\frac{i^2}{s \epsilon a} \right) = \frac{\ell}{2} \psi_{\eta}(\ell) + 1 - \overline{\psi}_{\eta}(\ell)$$

Cette relation, cependant, n'a de sens que si les grains ne presentent pas d'angulosites (elle suppose, en effet, R grand devant la maille e'a) Il feut, pour qu'il en soit ainsi, que $\frac{d \psi}{d \chi}$ s'annule en R = 0. On verifie, à l'aide de (38), que cette condition est verifiee si :

La valeur en $\hat{1}=0$ de la densite de frequence des traversées marginales des grains a le meme sens que celle des traversees ellesmemes : elle represente un indice d'angulosite .

Les granulometries ψ_{4} et $\overline{\psi}_{4}$ dependent de la direction α . Il convient de leur substituer leurs valeurs moyennes :

$$\vec{V}_1 \psi_1(R) = \frac{1}{2\pi} \int_0^{2\pi} \vec{V}_1(A) \psi_1(R;a) da$$

$$\vec{V}_1 \vec{\Psi}_1(R) = \frac{1}{2\pi} \int_0^{2\pi} \vec{V}_1(a) \vec{\Psi}_1(R;a) da$$

 ψ_{η} (R) represente alors veritablement la loi de repartition du rayon de courbure sur les portion positives (convexes) du contour limite. Chaque rayon de courbure est ici compte pour un poids proportionnel à la rotation positive de la normale, qui est $d \propto = \frac{d \cdot j}{R}$.

d/Decomposition du perimètre specifique en ses portions convexes et concaves. Du point de vue experimental, le debut des courbes $\psi_{\gamma}(R)$ et $\psi_{\gamma}(f)$ risque d'etre mal connu, à cause de la presence d'angulosites ou de KNNKNENT rayons de courbure inferieurs à la maille. Par contre les moments de ces granulometries seront mieux connus. En particulier, considerons le moment du premier ordre XX:

$$E(R_1) = \int_{0}^{\infty} \left[1 - \psi_1(R) \right] dR$$

Compte tenu de (38), nous trouvons :

$$E(R_q) = \int \int \frac{\ell}{2} \varphi_1(\ell) + 1 - \Phi_1(\ell) \int \frac{\rho d\rho}{48a}$$

c'est à dire :

$$E(R_1) = \frac{1}{4\pi a} \int_0^{\infty} e^2 \varphi_1(\ell) d\ell$$

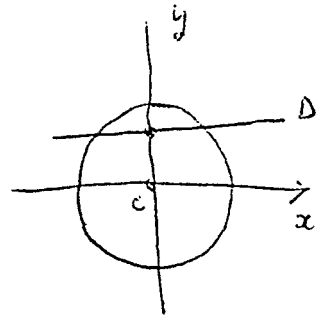
La valeur moyenne du rayon de courbure sur les portion convexes du contour se deduit directement du moment d'ordre deux de la granulometrie des traversees marginales des grains .On exprimera de la meme façon la valeur moyenne $E(R_0)$ du rayon de courbure sur les portions concaves du contour ,à l'aide de la granulometrie $\mathcal{P}_{\mathcal{O}}(\ell)$ des traversées

$$\frac{1}{2} \prod_{1} m_{3}(3) = \prod_{1} m_{2}(3) \times 2 m_{1}(1) = 2 m_{1}(3) \times \prod_{1} m_{2}(2)$$

$$\prod_{1} m_{2}(2) = 2 m_{1}(2) \times 2 m_{1}(1)$$

dont le sens intuitif est evident : le volume moyen de la sphère est egal au produit de son contour apparent moyen par la traversee moyenne des grains induits sur une droite, etc...

Toutefois, les relations (44) ne permettent pas, à elles seules, de determiner A_1 et A_3 à partir d'observations lineaires, puisque l'on ne connaît que les moments m (I) de la granulometrie lineaire, et non les moments m (2) et m (3) qui sont les moments des granulometries originelles. Dans le paragraphe suivant, nous trouverons un procede très general permettant de resoudre cette difficulte. Pour l'instant, nous nous contenterons d'indiquer des methodes plus particulières.



Soit, tout d'abord, à determiner $\partial_{\mathcal{A}}$, connaissant $\partial_{\mathcal{A}}$ et $F_{\mathcal{A}}$. Considerons dans le plan un cercle de rayon R, et une traversée observée le long d'une droite D parallèle à l'axe des x, dont la demi-longueur est :

Fig. I3

$$h(y) = \sqrt{R^2 - y^2} \qquad y \leq R$$

considerons l'integrale :

$$2\int \frac{dy}{h(y)} = 2\int \frac{dy}{\sqrt{R^2-y^2}} = \pi$$

Elle possede la meme valeur (sans dimension) π , quel que soit le rayon R. Par consequent, si, dans le carré unité, existent θ_z cercles, la somme de toutes ces integrales pour ces θ_z cercles vaut $\pi \theta_z$. Mais cette somme peut etre evaluee à partir d'observations faites sur une droite. Elle represente, en effet, le produit de θ_z (nombre

plan par la formule

$$(47) \qquad \qquad \theta_3 = \theta_2 \frac{m_{-1}(2)}{11}$$

3º/ Reconstitution de la granulometrie des sphères.

Proposons nous, en premier lieu, de reconstituer la granulometrie F_3 des sphères connaissant le nombre C_4 et la granulometrie F_4 des demi-traversees **parallèles**axidate**a

$$\theta_1 \left[1 - F_1(R) \right] = \theta_3 \int_R^{\infty} \pi(R^2 R^2) dF_3(R)$$

Effectuant une integration par parties, nous trouvons:

$$(48) \quad \theta_1 \left[1 - F_1(R)\right] = 2\pi \theta_3 \int_R \left[1 - F_3(R)\right] dR$$

Il suffit de deriver en h l'equation (48) pour obtenir une relation entre l'histogramme f_4 (h) et la granulometrie F_3 :

$$Q_1 f_1(f_1) = 2\pi f_3 f_1 \left[1 - F_3(f_1)\right]$$

Pour h = 0, on doit avoir $F_3(0) = 0$. Donc, necessairement, $f_1(0) = 0$ et de plus :

$$\theta_3 = \frac{\theta_1}{2\pi} \lim_{R \to 0} \frac{f_1(R)}{R} = \theta_1 \frac{f_1'(0)}{2\pi}$$

Nous retrouvons ainsi la relation (46) etablie anterieurement.

Compte tenu de cette relation, il vient:

(49)
$$1 - F_3(R) = \frac{1}{R} \frac{f_1(R)}{f_1'(0)}$$

Ainsi , la granulometrie des sphères peut etre integralement reconstituee à partir de l'histogramme des demi-traversees.

Nous pouvons, en particulier, calculer les moments associes à F_3 . Comme on a :

$$m_{\chi}(3) = \int_{0}^{\infty} \propto R^{d-1} \left[1 - F_{3}(R)\right] dR$$

on trouve immediatement:

(50)
$$m_{\alpha}(3) = \alpha \frac{m_{\alpha-2}(1)}{f_{-1}^{1}(0)}$$

La relation (43) permet ensuite d'obtenir les moments en mesure. On remarque que le facteur $f_1^*(0)$ disparait de leur expression. Il vient :

$$M_{\alpha}(3) = \frac{m_{\alpha+3}(3)}{m_{\alpha}(3)} = \frac{\alpha+3}{3} = \frac{m_{\alpha+1}(1)}{m_{\alpha}(1)}$$

c'est à dire :

$$M_{\alpha}(3) = \frac{\alpha + 3}{3} M_{\alpha}(1)$$

Les moments de meme ordre des granulometries (en mesure) originelles et induites se deduisent directement les uns des autres. C'est
là, comme nous le verrons, une circonstance generale. Dans le cas
de grains convexes, l'étoile se deduisait dejà directement du moment
correspondant de la granulometrie des traversees. (exprimee en longueur).
Dans le cas où les grains sont spheriques, cette relation s'etend à
tous les moments.

40/ Reconstitution de la granulometrie des cercles.

Pour reconstituer F_{λ} à partir de O_{λ} et de F_{λ} , nous remarquons que, dans le carre unite, les demi-traversees parallèles à l'axe des x et de longueur superieures à h interceptent sur l'axe des y une longueur $O_{\lambda}[I-F_{\lambda}(h)]$. Mais chaque cercle de rayon $P_{\lambda}(h)$ apporte une contribution egale à $O_{\lambda}(h)$. Nous avons donc :

$$\theta_1 \left[1 - F_1(R)\right] = 2\theta_2 \int_R^{\infty} \sqrt{R^2 R^2} dF_2(R)$$

En effectuant une integration par parties, nous trouvons:

(52)
$$G_1 \left[1 - F_7(6)\right] = 2 G_2 \int_{R}^{\varphi} \left[1 - F_2(R)\right] \frac{R dR}{\sqrt{R^2 - 6^2}}$$

Cette equation integrale est un tout petit peu plus compliquee que (48), du fait que h figure explicitement sous le signe somme. On sait cependant la resoudre. Si l'on designe par $f_4(h) = F_4(h)$ l'histogramme des demi-traversees, on demontrre, en effet, que l'equation integrale (52) a comme unique solution :

$$\theta_z \left[1 - \overline{r}_z(R)\right] = \frac{\theta_1}{\pi} \int_{R} \frac{1}{\sqrt{\kappa^2 R^2}} f_1(R) dS$$

Pour R = 0 ,on doit avoir $F_{\chi}(0) = 0$.Par consequent, il vient :

$$\theta_a = \frac{\theta_1}{\pi} \int_{\Omega}^{\infty} \frac{1}{\theta_1} f_1(\theta_1) d\theta_2$$

Ceci n'est pas autre chose que la relation (45) dejà etablie anterieurement et que nous redemontrons ici grace à un procede plus general et plus puissant. Compte tenu de cette relation, nous trouvons :

(53)
$$1 - F_{z}(R) = \frac{1}{m_{1}(1)} \int_{R} \frac{1}{\sqrt{h^{2}-R^{2}}} f_{1}(h) dh$$

T- G.Atheron "Elements pour une theorie des milieux poreux " Masson, Paris, sous presse.

43

Ici encore, donc, il est possible de reconstituer integralement la granulometrie des cercles à partir de l'histogramme des demitraversees. La relation obtenue est cependant moins simple que dans le cas de la sphère.

En ce qui concerne les moments, nous obtiendrons $m_{\chi}(2)$ en multipliant le deuxième membre de (53) par \propto R et en integrant en R. Il suffit d'intervertir l'ordre des integrations pour obtenir :

(54)
$$m_{\chi}(2) = \sqrt{\pi} \frac{\Gamma\left(1 + \frac{\alpha}{2}\right)}{\Gamma\left(\frac{1+\alpha}{2}\right)} \frac{m_{\alpha-1}(1)}{m_{-1}(1)}$$

Le symbole Γ represente la fonction eulerienne habituelle.Pour $\alpha = 1,2$ et 3 ,on trouve explicitement :

$$\begin{cases} m_{1}(2) = \frac{iT}{2 m_{-1}(1)} \\ m_{2}(2) = 2 \frac{m_{1}(1)}{m_{-1}(1)} \\ m_{3}(2) = 3 \frac{iT}{4} \frac{m_{2}(1)}{m_{-1}(1)} \end{cases}$$

On n'oubliera pas que $m_{\chi}(T)$ represente le moment d'ordre χ des demi-traversees, et non des traversees elles-memes. En ce qui concerne les moments en mesure, on partira de leur definition (43) et des relations (53). Des calculs elementaires montrent que l'expression $m_{-1}(T)$ s'elimine, et que les moments en mesure de meme ordre $M_{\chi}(T)$ et $M_{\chi}(2)$ se deduisent directement l'un de l'autre par la formule :

(55)
$$M_{\alpha}(2) = \frac{\sqrt{\pi}}{2} \frac{\Gamma(2 + \frac{\alpha}{2})}{\Gamma(1 + \frac{1 + \alpha}{2})} M_{\alpha}(1)$$

En particulier, pour $\alpha = 1$ et $\alpha = 2$, on trouve:

$$\begin{cases} M_{1}(2) = \frac{3\pi}{8} M_{1}(1) \\ M_{2}(2) = \frac{4}{3} M_{2}(1) \end{cases}$$

Remarque. Il est possible egalement de reconstituer la granulometrie F_1 des sphères à partir de la granulometrie F_2 des cercles induits. On obtient la meme equation integrale (52), en ecrivant \hat{G}_2 et \hat{G}_3 au lieu de \hat{G}_4 et \hat{G}_2 , \hat{G}_4 et \hat{G}_3 au lieu de \hat{G}_4 et \hat{G}_4 et \hat{G}_4 oui est une simple transposition de (45), et les relations (53) et (54) se transposent elles aussi sans difficulte .Il n'y a que les moments en mesure qui exigent un examen special. On trouve :

$$M_{\gamma}(3) = \frac{32}{9\pi} M_{\gamma}(2)$$

$$M_{2}(3) = \frac{5}{4} M_{2}(2)$$

Table des matières.

INTRODUCTION	Ī
II-NOTIONS DEDUITES D'OBSERVATIONS PUREMENT LINEAIRES.	6
I°/ La covariance.	6
a/ Considerations geometriques preliminaires. b/ L'interpretation probabiliste. c/ La surface specifique. d/ La portée	6 9 IO I2
2º/ Granulometries des traversees des pores et des grains.	- I3
a/ Les moments fonctionnels P(h) et Q(h) b/ Les granulometries en nombre. c/ Les granulometries en longueur. d/ Courbure moyenne et angulosite. e/ L'etoile des grains et l'etoile des pores. f/ Relation entre l'etoile et la portee.	I3 I4 I7 I9 2I 24
II-ANALYSIS SITUS DES GRANULOMETRIES PLANES.	27
I°/ Le nombre specifique de connexite	27
20/ Nombres specifiques de convexite des grains et des pores	32
a/ La rotation de la normale. b/ Determination experimentale. c/ Loi des rayons de courbure. d/ Decomposition du perimètre specifique.	33 35 37 39
<u>III-CAS DES GRAINS SPHERIQUES</u> .	41
I°/ Notations.	4I
20/ Determination des nombres specifiques.	42
5º/ Reconstitution de la granulometrie des sphères.	46
4º/ Reconstitution de la granulometrie des cercles.	47